

ELT072 – Introdução ao Controle Automático de Aeronaves

Bloco 3

Prof. Leo Torres

Abril, 2024

Conteúdo

1 O Modelo de Corpo Rígido

2 Forças e Momentos Externos

**3 Equações de Translação no
Referencial do Vento**

4 Bibliografia

Section 1

O Modelo de Corpo Rígido

Modelo de Corpo Rígido – Detalhamento I

Conforme visto anteriormente, o modelo de corpo rígido, ou de 6 graus de liberdade, da aeronave, considerando as aproximações de Terra Plana (Flat Earth), campo gravitacional constante, e distribuição de massa constante, é dado por:

$$\begin{aligned}
 \dot{\boldsymbol{p}}_{\text{cm/tp}}^{\text{tp}} &= C_{\text{tp}/\text{frd}} \boldsymbol{v}_{\text{cm/tp}}^{\text{frd}}, \\
 \dot{\boldsymbol{\Phi}} &= H(\boldsymbol{\Phi}) \boldsymbol{\omega}_{\text{frd/tp}}^{\text{frd}}, \\
 \dot{\boldsymbol{v}}_{\text{cm/tp}}^{\text{frd}} &= -\tilde{\boldsymbol{\omega}}_{\text{frd/tp}}^{\text{frd}} \boldsymbol{v}_{\text{cm/tp}}^{\text{frd}} + \frac{1}{m} \boldsymbol{F}^{\text{frd}}, \\
 \dot{\boldsymbol{\omega}}_{\text{frd/tp}}^{\text{frd}} &= (J^{\text{frd}})^{-1} \left[-\tilde{\boldsymbol{\omega}}_{\text{frd/tp}}^{\text{frd}} (J^{\text{frd}} \boldsymbol{\omega}_{\text{frd/tp}}^{\text{frd}}) + \boldsymbol{M}^{\text{frd}} \right].
 \end{aligned} \tag{1}$$

Este modelo representa um corpo rígido sujeito a uma força externa resultante $\boldsymbol{F}^{\text{frd}}$ e a um momento externo resultante $\boldsymbol{M}^{\text{frd}}$.

Modelo de Corpo Rígido – Detalhamento II

As variáveis de estado deste modelo são:

- Posição Norte, Leste e “-Altitude” do c.m.:

$$\mathbf{p}_{\text{cm/tp}}^{\text{tp}} = [p_N \quad p_E \quad p_D]^T.$$

- Ângulos de Euler:

$$\Phi = [\phi \quad \theta \quad \psi]^T.$$

- Velocidade de Translação do c.m. em relação à origem do Referencial $\vec{\mathcal{F}}_{\text{tp}}$, representada no Referencial $\vec{\mathcal{F}}_{\text{frd}}$:

$$\mathbf{v}_{\text{cm/tp}}^{\text{frd}} = [U \quad V \quad W]^T.$$

- Velocidade Angular da aeronave em relação ao Referencial $\vec{\mathcal{F}}_{\text{tp}}$, representada no Referencial $\vec{\mathcal{F}}_{\text{frd}}$:

$$\boldsymbol{\omega}_{\text{frd/tp}}^{\text{frd}} = [P \quad Q \quad R]^T.$$

Modelo de Corpo Rígido – Detalhamento III

Expandindo as equações vetoriais do modelo (1), temos:

$$\begin{aligned}\dot{p}_N &= U \cos \theta \cos \psi + \\&\quad V(-\cos \phi \sin \psi + \sin \phi \sin \theta \cos \psi) + \\&\quad W(\sin \phi \sin \psi + \cos \phi \sin \theta \cos \psi), \\ \dot{p}_E &= U \cos \theta \sin \psi + \\&\quad V(\cos \phi \cos \psi + \sin \phi \sin \theta \sin \psi) + \\&\quad W(-\sin \phi \cos \psi + \cos \phi \sin \theta \sin \psi) \\ \dot{p}_D &= -U \sin \theta + V \sin \phi \cos \theta + W \cos \phi \cos \theta.\end{aligned}\tag{2}$$

Modelo de Corpo Rígido – Detalhamento IV

$$\begin{aligned}\dot{\phi} &= P + Q \tan \theta \sin \phi + R \tan \theta \cos \phi, \\ \dot{\theta} &= Q \cos \phi - R \sin \phi, \\ \dot{\psi} &= Q \frac{\sin \phi}{\cos \theta} + R \frac{\cos \phi}{\cos \theta}\end{aligned}\tag{3}$$

Modelo de Corpo Rígido – Detalhamento V

$$\begin{aligned}\dot{U} &= RV - QW + \frac{\underline{F_x}}{m}, \\ \dot{V} &= -RU + PW + \frac{\underline{F_y}}{m}, \\ \dot{W} &= QU - PV + \frac{\underline{F_z}}{m}.\end{aligned}\tag{4}$$

Modelo de Corpo Rígido – Detalhamento VI

$$\begin{aligned}\dot{\Gamma P} &= J_{xz} [J_x - J_y + J_z] PQ + \\ &\quad - [J_z (J_z - J_y) + J_{xz}^2] QR + J_z M_x + J_{xz} M_z, \\ \dot{J_y Q} &= (J_z - J_x) PR - J_{xz} (P^2 - R^2) + M_y,\end{aligned}\tag{5}$$

$$\begin{aligned}\dot{\Gamma R} &= [J_x (J_x - J_y) + J_{xz}^2] PQ + \\ &\quad - J_{xz} [J_x - J_y + J_z] QR + J_{xz} M_x + J_x M_z\end{aligned}$$

em que

$$\Gamma = J_x J_z - J_{xz}^2.$$

Modelo de Corpo Rígido – Detalhamento VII

São as forças e momentos externos resultantes que dependem, além das variáveis de estado, de variáveis manipuladas pelo piloto ou pelo sistema de controle automático, tais como:

- 1** δ_e : deflexão do profundor.
- 2** δ_a : deflexão dos ailerons.
- 3** δ_r : deflexão do leme.
- 4** δ_t : comando de tração (throttle).
- 5** ...

- Força Externa e Momento Externo Resultantes:

$$\mathbf{F}^{\text{frd}} = \begin{bmatrix} F_x(\delta_e, \delta_a, \delta_r, \delta_t, \dots) \\ F_y(\delta_e, \delta_a, \delta_r, \delta_t, \dots) \\ F_z(\delta_e, \delta_a, \delta_r, \delta_t, \dots) \end{bmatrix}, \quad \mathbf{M}^{\text{frd}} = \begin{bmatrix} M_x(\delta_e, \delta_a, \delta_r, \delta_t, \dots) \\ M_y(\delta_e, \delta_a, \delta_r, \delta_t, \dots) \\ M_z(\delta_e, \delta_a, \delta_r, \delta_t, \dots) \end{bmatrix}.$$

Section 2

Forças e Momentos Externos

Forças Externas I

Note que

$$\sum_{i=1}^N \vec{f}_{\text{ext}/i} = \vec{f}_{\text{ext}} = \vec{\mathcal{F}}_{\text{frd}} \mathbf{F}^{\text{frd}},$$

e o vetor força externa pode ser decomposto da seguinte maneira:

$$\vec{f}_{\text{ext}} = \vec{f}_{\text{aero}} + \vec{f}_{\text{prop}} + \vec{f}_{\text{peso}}.$$

```

graph TD
    f_ext["\vec{f}_{ext}"] --> f_aero["\vec{f}_{aero}"]
    f_ext --> f_prop["\vec{f}_{prop}"]
    f_ext --> f_peso["\vec{f}_{peso}"]
    f_aero --> F_aero["Força Aerodinâmica"]
    f_prop --> F_prop["Força Propulsiva"]
    f_peso --> F_peso["Força Peso"]
  
```

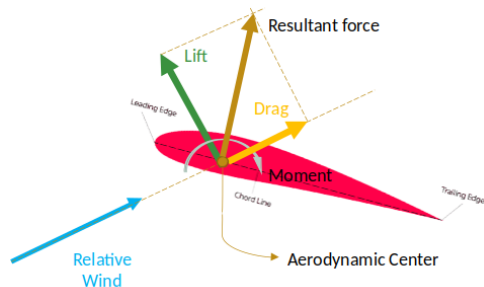
Cada componente acima é mais facilmente representada em um referencial específico:

$$\vec{f}_{\text{aero}} = \vec{\mathcal{F}}_w \mathbf{F}_{\text{aero}}^w, \quad \vec{f}_{\text{prop}} = \vec{\mathcal{F}}_{\text{frd}} \mathbf{F}_{\text{prop}}^{\text{frd}}, \quad \vec{f}_{\text{peso}} = \vec{\mathcal{F}}_{\text{tp}} \mathbf{F}_{\text{peso}}^{\text{tp}}.$$

Forças Externas II

- No caso da Força Aerodinâmica:

$$\mathbf{F}_{\text{aero}}^{\text{w}} = \begin{bmatrix} -D \\ -C \\ -L \end{bmatrix}$$



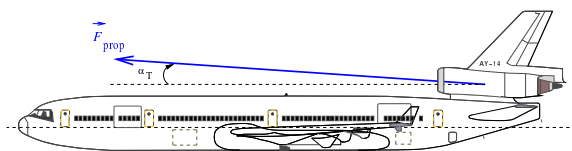
sendo

- 1 D a força de arrasto (Drag).
- 2 C a força lateral ou de vento cruzado (Crosswind).
- 3 L a força de sustentação (Lift).

Forças Externas III

- Para a força propulsiva, considerando uma aeronave de asas fixas e propulsão contida no plano de simetria $y = 0$ do Referencial $\vec{\mathcal{F}}_{\text{frd}}$:

$$\mathbf{F}_{\text{prop}}^{\text{frd}} = \begin{bmatrix} T_x \\ 0 \\ T_z \end{bmatrix}$$



sendo

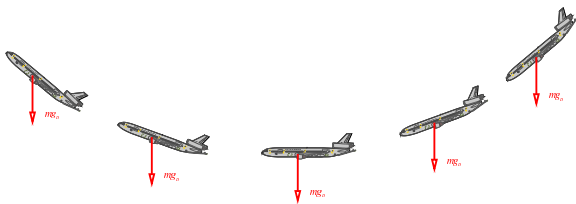
- T_x a componente x da força propulsiva (Thrust).
- T_z a componente z da força propulsiva. Frequentemente $T_z = 0$.

Na figura acima, $T_x = T_{\text{prop}} \cos(\alpha_T)$ e $T_z = -T_{\text{prop}} \sin(\alpha_T)$, onde $T_{\text{prop}} = \|\vec{f}_{\text{prop}}\|$.

Forças Externas IV

- Para a força peso:

$$\mathbf{F}_{\text{peso}}^{\text{tp}} = \begin{bmatrix} 0 \\ 0 \\ mg_D \end{bmatrix}$$



sendo

- $g_D = 9,80665 \text{ m/s}^2$.
- m a massa total da aeronave (considerada constante em nosso modelo simplificado).

Momentos Externos I

De forma similar à força externa, o Momento Externo

$$\sum_{i=1}^N \vec{M}_{\text{ext}/i} = \vec{M}_{\text{ext}} = \vec{\mathcal{F}}_{\text{frd}} \vec{M}^{\text{frd}}$$

também pode ser decomposto como (a força peso não produz qualquer momento em relação ao c.g.):

$$\vec{M}_{\text{ext}} = \vec{M}_{\text{aero}} + \vec{M}_{\text{prop}}.$$

The equation $\vec{M}_{\text{ext}} = \vec{M}_{\text{aero}} + \vec{M}_{\text{prop}}$ is shown. Two pink rounded rectangular boxes enclose \vec{M}_{aero} and \vec{M}_{prop} . Two blue arrows point from these boxes down to two blue-bordered boxes below them. The left box contains the text "Momento Aerodinâmico" and the right box contains "Momento da Força Propulsiva".

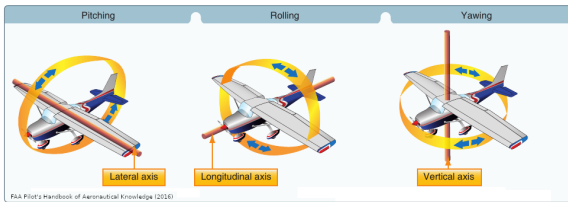
Diferentemente do caso das componentes de força, é usual representar todos os momentos no mesmo Referencial do Corpo $\vec{\mathcal{F}}_{\text{frd}}$:

$$\vec{M}_{\text{aero}} = \vec{\mathcal{F}}_{\text{frd}} \vec{M}_{\text{aero}}^{\text{frd}}, \quad \vec{M}_{\text{prop}} = \vec{\mathcal{F}}_{\text{frd}} \vec{M}_{\text{prop}}^{\text{frd}}.$$

Momentos Externos II

- Para o Momento Aerodinâmico, temos que:

$$M_{\text{aero}}^{\text{frd}} = \begin{bmatrix} \ell \\ m_a \\ n \end{bmatrix}$$



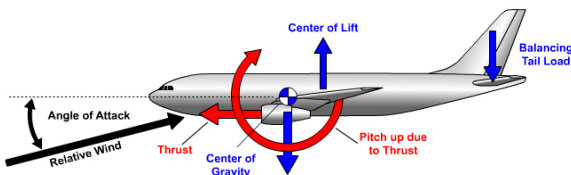
sendo

- ℓ o momento de rolamento (Rolling Moment).
- m_a o momento de arfagem (Pitching Moment).
- n o momento de guinada (Yawing Moment).

Momentos Externos III

- Para o Momento devido à Força Propulsiva, quando a linha de ação desta força não passa pelo c.g., temos usualmente que:

$$M_{\text{prop}}^{\text{frd}} = \begin{bmatrix} 0 \\ m_p \\ n_p \end{bmatrix}$$



sendo

- m_p o momento de arfagem devido à força propulsiva.
- n_p o momento de guinada devido a forças propulsivas assimétricas em aeronaves com mais de um propulsor.

Momentos Externos IV

Contabilizando as contribuições de todos os propulsores para o Momento devido à Força Propulsiva, temos que

$$\vec{M}_{\text{prop}} = \sum_{k=1}^{N_{\text{prop}}} (\vec{r}_{\text{prop},k} - \vec{r}_{\text{cm}}) \times \vec{f}_{\text{prop},k} \quad (6)$$

em que

- 1 $\vec{r}_{\text{prop},k}$ é a posição associada ao k -ésimo propulsor, geralmente expresso no Referencial Estrutural $\vec{\mathcal{F}}_{\text{est}}$.
- 2 $\vec{f}_{\text{prop},k}$ é a força exercida pelo k -ésimo propulsor, geralmente expressa no Referencial do Corpo $\vec{\mathcal{F}}_{\text{frd}}$.

É importante lembrar que

$$C_{\text{frd/est}} = \begin{bmatrix} -1 & 0 & 0 \\ 0 & 1 & 0 \\ 0 & 0 & -1 \end{bmatrix} = C_{\text{est/frd}}$$

Combinando Força Aerodinâmica e Momento Aerodinâmico I

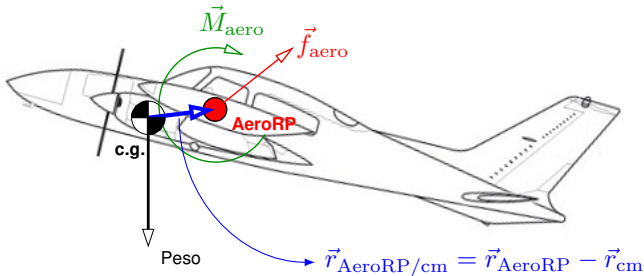
- Embora seja uma prática comum representar as contribuições de forças separadamente, para cada aerofólio e para cada parte da aeronave, no cômputo total das forças aerodinâmicas, seguiremos o livro-texto [6] e representaremos o efeito combinado como:
 - 1 Força Aerodinâmica Resultante Total aplicada ao *Centro de Referência Aerodinâmico* (Aerodynamic Reference Point) – **AeroRP**.
 - 2 Momento Aerodinâmico sobre a aeronave separado do momento criado pela Força Aerodinâmica Resultante Total referenciada acima.

Desta maneira podemos escolher um ponto arbitrário, como ponto de aplicação da Força Aerodinâmica Resultante Total, para ser o Centro de Referência Aerodinâmico.

Quando o c.g. coincide com o **AeroRP**, o Momento Resultante Total é o Momento Aerodinâmico.

Combinando Força Aerodinâmica e Momento Aerodinâmico II

- Caso o c.g. não esteja sobre o AeroRP, então precisamos somar ao Momento Aerodinâmico a contribuição do momento originado pela Força Aerodinâmica Resultante Total aplicada fora do c.g.



$$\mathbf{M}_{\text{aero total}}^{\text{frd}} = \mathbf{M}_{\text{aero}}^{\text{frd}} + \vec{r}_{\text{AeroRP/cm}}^{\text{frd}} \mathbf{F}_{\text{aero}}^{\text{frd}}. \quad (7)$$

Forças e Momentos Aerodinâmicos I

- Conforme já vimos, as componentes da Força Aerodinâmica e do Momento Aerodinâmico podem ser representadas como

$$\mathbf{F}_{\text{aero}}^{\text{w}} = \begin{bmatrix} -D \\ -C \\ -L \end{bmatrix} = -\bar{q}S_{\text{w}} \begin{bmatrix} C_D \\ C_C \\ C_L \end{bmatrix},$$

$$\mathbf{M}_{\text{aero}}^{\text{frd}} = \begin{bmatrix} \ell \\ m_a \\ n \end{bmatrix} = \bar{q}S_{\text{w}} \begin{bmatrix} bC_\ell \\ \bar{c}C_m \\ bC_n \end{bmatrix},$$

em que a Pressão Dinâmica $\bar{q} = \frac{1}{2}\rho V_T^2$ depende da densidade do ar ρ e da velocidade da aeronave em relação à atmosfera $V_T = \sqrt{U^2 + V^2 + W^2}$, S_{w} é a área de referência da asa, b é a envergadura da asa, e \bar{c} é a corda média da asa.

Forças e Momentos Aerodinâmicos II

- Os coeficientes aerodinâmicos são na verdade funções multivariáveis que comumente são representadas em Tabelas Aerodinâmicas:

$$C_D \equiv C_D(\alpha, \beta, M, h, \delta_e, \dots),$$

$$C_C \equiv C_C(\alpha, \beta, M, h, \delta_r, \dots),$$

$$C_L \equiv C_L(\alpha, \beta, M, h, \delta_e, \dots),$$

$$C_\ell \equiv C_\ell(\alpha, \beta, M, h, \delta_a, \dots),$$

$$C_m \equiv C_m(\alpha, \beta, M, h, \delta_e, \dots),$$

$$C_n \equiv C_n(\alpha, \beta, M, h, \delta_r, \dots),$$

em que M é o número de Mach, h é a altitude, e δ_e , δ_a e δ_r são deflexões de profundor, aileron e leme, respectivamente (a título de exemplo).

Section 3

Equações de Translação no Referencial do Vento

Usando V_T , α e β , ao invés de U, V, W |

- As componentes U , V e W da velocidade de Translação do c.m. em relação ao solo, quando não há movimentos da atmosfera em relação ao solo (ventos), são também as componentes do vento relativo neste caso:

$$\mathbf{v}_{\text{cm/tp}}^{\text{frd}} = C_{\text{frd/w}}(\alpha, \beta) \mathbf{v}_{\text{cm/tp}}^{\text{w}},$$

$$\begin{bmatrix} U \\ V \\ W \end{bmatrix} = \begin{bmatrix} \cos\alpha\cos\beta & -\cos\alpha\sin\beta & -\sin\alpha \\ \sin\beta & \cos\beta & 0 \\ \sin\alpha\cos\beta & -\sin\alpha\sin\beta & \cos\alpha \end{bmatrix} \begin{bmatrix} V_T \\ 0 \\ 0 \end{bmatrix},$$

e, portanto,

$$\begin{aligned} U &= V_T \cos \alpha \cos \beta \\ V &= V_T \sin \beta \\ W &= V_T \sin \alpha \cos \beta \end{aligned} \tag{8}$$

Usando V_T , α e β , ao invés de U, V, W II

- Por outro lado,

$$\begin{aligned}V_T &= \sqrt{U^2 + V^2 + W^2} \\ \alpha &= \text{atan2}(W, U) \\ \beta &= \text{asen}\left(\frac{V}{V_T}\right)\end{aligned}\tag{9}$$

Usando V_T , α e β , ao invés de U, V, W III

- De fato, podemos obter diretamente a evolução das variáveis V_T , α e β , ao invés das componentes U , V e W , observando que

$$\mathbf{v}_{\text{cm/tp}}^{\text{frd}} = C_{\text{frd/w}} \mathbf{v}_{\text{cm/tp}}^{\text{w}},$$

e considerando a dinâmica de translação:

$$\dot{\mathbf{v}}_{\text{cm/tp}}^{\text{frd}} = -\tilde{\omega}_{\text{frd/tp}}^{\text{frd}} \mathbf{v}_{\text{cm/tp}}^{\text{frd}} + \frac{1}{m} \mathbf{F}^{\text{frd}},$$

$$\frac{d}{dt} \left(C_{\text{frd/w}} \mathbf{v}_{\text{cm/tp}}^{\text{w}} \right) = -\tilde{\omega}_{\text{frd/tp}}^{\text{frd}} \mathbf{v}_{\text{cm/tp}}^{\text{frd}} + \frac{1}{m} \mathbf{F}^{\text{frd}},$$

$$\dot{C}_{\text{frd/w}} \mathbf{v}_{\text{cm/tp}}^{\text{w}} + C_{\text{frd/w}} \dot{\mathbf{v}}_{\text{cm/tp}}^{\text{w}} = -\tilde{\omega}_{\text{frd/tp}}^{\text{frd}} \mathbf{v}_{\text{cm/tp}}^{\text{frd}} + \frac{1}{m} \mathbf{F}^{\text{frd}}.$$

Usando V_T , α e β , ao invés de U, V, W IV

Multiplicando à esquerda a equação anterior por $C_{w/\text{frd}}$, temos que:

$$\begin{aligned}
 C_{w/\text{frd}} \dot{C}_{\text{frd}/w} \mathbf{v}_{\text{cm}/\text{tp}}^w + \dot{\mathbf{v}}_{\text{cm}/\text{tp}}^w &= -C_{w/\text{frd}} \tilde{\omega}_{\text{frd}/\text{tp}}^{\text{frd}} \mathbf{v}_{\text{cm}/\text{tp}}^{\text{frd}} \\
 &\quad + \frac{1}{m} C_{w/\text{frd}} \mathbf{F}^{\text{frd}}, \\
 \tilde{\omega}_{w/\text{frd}}^w \mathbf{v}_{\text{cm}/\text{tp}}^w + \dot{\mathbf{v}}_{\text{cm}/\text{tp}}^w &= - \left(C_{w/\text{frd}} \tilde{\omega}_{\text{frd}/\text{tp}}^{\text{frd}} C_{\text{frd}/w} \right) \mathbf{v}_{\text{cm}/\text{tp}}^w \\
 &\quad + \frac{1}{m} \mathbf{F}^w, \\
 \tilde{\omega}_{w/\text{frd}}^w \mathbf{v}_{\text{cm}/\text{tp}}^w + \dot{\mathbf{v}}_{\text{cm}/\text{tp}}^w &= -\tilde{\omega}_{\text{frd}/\text{tp}}^w \mathbf{v}_{\text{cm}/\text{tp}}^w + \frac{1}{m} \mathbf{F}^w, \quad (10)
 \end{aligned}$$

onde se usou o fato de que $C_{w/\text{frd}} \dot{C}_{\text{frd}/w} = \tilde{\omega}_{w/\text{frd}}^w$.

Usando V_T , α e β , ao invés de U, V, W \mathbf{V}

Por outro lado, pode-se mostrar que

$$C_{w/\text{frd}} \dot{C}_{\text{frd}/w} = \tilde{\omega}_{w/\text{frd}}^w \quad \Rightarrow \quad \omega_{w/\text{frd}}^w = \begin{bmatrix} -\dot{\alpha} \sin \beta \\ -\dot{\alpha} \cos \beta \\ \dot{\beta} \end{bmatrix},$$

$$\dot{\mathbf{v}}_{cm/tp}^w = \begin{bmatrix} \dot{V}_T \\ 0 \\ 0 \end{bmatrix},$$

e, portanto,

$$\tilde{\omega}_{w/\text{frd}}^w \mathbf{v}_{cm/tp}^w + \dot{\mathbf{v}}_{cm/tp}^w = \begin{bmatrix} \dot{V}_T \\ \dot{\beta} V_T \\ \dot{\alpha} V_T \cos \beta \end{bmatrix}. \quad (11)$$

Usando V_T , α e β , ao invés de U, V, W VI

Considere também que

$$\begin{aligned}\omega_{\text{frd}/\text{tp}}^w &= C_{w/\text{frd}}(\alpha, \beta) \omega_{\text{frd}/\text{tp}}^{\text{frd}}, \\ \omega_{\text{frd}/\text{tp}}^w &= C_{z,\beta} C_{y,-\alpha} \omega_{\text{frd}/\text{tp}}^{\text{frd}}, \\ \begin{bmatrix} P_w \\ Q_w \\ R_w \end{bmatrix} &= \begin{bmatrix} c\alpha c\beta & s\beta & s\alpha c\beta \\ -c\alpha s\beta & c\beta & -s\alpha s\beta \\ -s\alpha & 0 & c\alpha \end{bmatrix} \begin{bmatrix} P \\ Q \\ R \end{bmatrix}. \quad (12)\end{aligned}$$

Usando V_T , α e β , ao invés de U, V, W VII

Em relação à Força Externa, temos que

$$\begin{aligned}\mathbf{F}^w &= \mathbf{F}_{\text{aero}}^w + C_{w/\text{frd}} \mathbf{F}_{\text{prop}}^{\text{frd}} + C_{w/\text{frd}} C_{\text{frd}/\text{tp}} \mathbf{F}_{\text{peso}}^{\text{tp}}, \\ \mathbf{F}^w &= \begin{bmatrix} -D \\ -C \\ -L \end{bmatrix} + \begin{bmatrix} T_{\text{prop}} \cos(\alpha + \alpha_T) \cos \beta \\ -T_{\text{prop}} \cos(\alpha + \alpha_T) \sin \beta \\ -T_{\text{prop}} \sin(\alpha + \alpha_T) \end{bmatrix} + \begin{bmatrix} mg_1 \\ mg_2 \\ mg_3 \end{bmatrix}, \quad (13)\end{aligned}$$

em que

$$\begin{bmatrix} g_1 \\ g_2 \\ g_3 \end{bmatrix} = C_{z,\beta} C_{y,-\alpha} C_{x,\phi} C_{y,\theta} \begin{bmatrix} 0 \\ 0 \\ g_D \end{bmatrix}.$$

Usando V_T , α e β , ao invés de U, V, W VIII

Substituindo as expressões (13), (12), (11) em (10), temos um conjunto alternativo ao das equações (4):

$$\begin{aligned}
 \dot{V}_T &= \frac{1}{m} [T_{\text{prop}} \cos(\alpha + \alpha_T) \cos \beta - D] + g_1 \\
 \dot{\beta} &= \frac{1}{mV_T} [-T_{\text{prop}} \cos(\alpha + \alpha_T) \sin \beta - C] \\
 &\quad + \frac{g_2}{V_T} - R_W \\
 \dot{\alpha} &= \frac{1}{mV_T \cos \beta} [-T_{\text{prop}} \sin(\alpha + \alpha_T) - L] \\
 &\quad + \frac{g_3}{V_T \cos \beta} + \frac{Q_W}{\cos \beta}
 \end{aligned} \tag{14}$$

Section 4

Bibliografia

Bibliografia I



Wayne Durham.

Aircraft flight dynamics and control.

John Wiley & Sons, Ltd., 2013.



R. Fletcher.

Practical Methods of Optimization: Unconstrained Optimization,
volume 1.

John Wiley & Sons, 1980.



R. Fletcher.

Practical Methods of Optimization: Constrained Optimization,
volume 2.

John Wiley & Sons, 1981.

Bibliografia II

-  William H. Press, Saul A. Teukolsky, William T. Vetterling, and Brian P. Flannery.
Numerical Recipes in C: The Art of Scientific Computing.
Cambridge University Press, 2002.
-  Jaime A. Ramírez, Felipe Campelo, Frederico G. Guimarães, Lucas S. Batista, and Ricardo H. C. Takahashi.
ELE037 Otimização: Notas de Aula.
online, 2018.
([link](#)).
-  Brian L. Stevens, Frank L. Lewis, and Eric N. Johnson.
Aircraft Control and Simulation: Dynamics, Controls Design, and Autonomous Systems.
John Wiley & sons, Inc., 2016.